

## Стесненное зернограничное проскальзывание и неупругость поликристаллов

© Ш.Х. Ханнанов,<sup>1</sup> С.П. Никаноров<sup>2</sup>

<sup>1</sup> Институт физики молекул и кристаллов Уфимского научного центра РАН,  
450075 Уфа, Россия  
e-mail: imcp@anrb.ru

<sup>2</sup> Физико-технический институт им. А.Ф. Иоффе РАН,  
194021 Санкт-Петербург, Россия  
e-mail: nikanorov@pop.ioffe.rssi.ru

(Поступило в Редакцию 7 июня 2005 г.)

Развита модель неупругого поведения поликристаллов, основанная на представлении о стесненном зернограничном проскальзывании. В данной модели предполагается, что зернограничное проскальзывание аккомодируется только путем упругой деформации зерен, что оправдано в области малых напряжений. В качестве приложения исследуется динамическое неупругое поведение и эффект уменьшения модулей поликристаллов при воздействии ультразвуковым полем малой амплитуды. Показано, что некоторые имеющиеся экспериментальные данные, полученные на ультрамелкозернистых материалах, могут быть объяснены в рамках настоящей модели. В качественном согласии с экспериментом теория предсказывает, что уменьшение упругих модулей должно носить характер размерного эффекта и наблюдаться в области малых размеров зерен.

PACS: 61.72.Mm, 62.40.+i

Явления неупругости в кристаллических твердых телах исследуются как теоретически, так и экспериментально достаточно длительное время (см., например, [1–4]). Развитые в этой области методы и подходы зарекомендовали себя как весьма разнообразные, точные и эффективные для изучения дефектной структуры и ее влияния на физические свойства материалов. В последние годы в связи с интенсивным исследованием субмикроструктурных и нанокристаллических материалов возникает необходимость изучения специфических явлений неупругости, которые могут наблюдаться в поликристаллах и обусловлены наличием в них границ зерен.

Одним из интересных экспериментальных данных, полученных при испытаниях субмикроструктурных и нанокристаллических материалов, является существенное (иногда на десятки процентов) уменьшение упругих модулей [5,6]. Теоретическое объяснение этого наблюдаемого факта встречается с некоторыми трудностями. Если исходить из представления, что здесь имеет место чисто упругое явление, то для объяснения величины уменьшения модулей приходится допускать либо наличие значительной пористости, либо особой зернограничной фазы с достаточно большой объемной долей и низкими значениями модулей [5,6]. Однако такие допущения не всегда оправданы, в особенности это касается материалов, полученных путем интенсивной пластической деформации [5,22].

Можно попытаться взглянуть на данный вопрос с иной точки зрения, предполагая, что наблюдаемое уменьшение модулей обусловлено не чисто упругим, а релаксационным процессом (неупругостью). В качестве такого процесса, по-видимому, может выступать

стесненное зернограничное проскальзывание. В пользу данного предположения говорят, во-первых, экспериментальные данные о развитии зернограничного проскальзывания в различных условиях ползучести [7], сверхпластичности [8], активной деформации [9] и ультразвуковом нагружении [10]; во-вторых, достаточная величина (по оценкам в рамках двумерной схемы [11] — несколько десятков процентов) релаксации модулей. Целью настоящей работы является более подробное рассмотрение явления неупругости поликристаллов, связанного с механизмом стесненного зернограничного проскальзывания, и попытка на основе развитых представлений дать иное физическое объяснение экспериментальных данных, касающихся уменьшения упругих модулей в субмикроскопических и нанокристаллических материалах [5,6]. Поскольку процесс зернограничного проскальзывания на микроскопическом уровне очень сложен и до сих пор не до конца ясен [7–9,12], мы будем пользоваться простыми феноменологическими моделями. При этом, в отличие от обычного подхода (см. [2]), мы будем наряду с реологической моделью использовать структурную модель поликристалла. Последнее необходимо, чтобы учесть в теории важнейший структурный фактор — размер зерен поликристаллического материала.

### 1. Модель и оценка времени релаксации для стесненного зернограничного проскальзывания

Рассмотрим простую двумерную модель стесненного зернограничного проскальзывания. Будем считать, что границы зерен обладают собственной (без участия вну-

тризеренного скольжения) способностью проскальзывать, например, по механизму [12]. Согласно экспериментальным данным [19] (см. [7]), при малых напряжениях, когда приложен ультразвук, скорость зернограничного проскальзывания  $v$  зависит от напряжения  $\sigma$  и температуры  $T$  как

$$v = v_0 \sigma^n \exp(-Q/RT), \quad (1)$$

где  $v_0$  — константа,  $n \simeq 1$ ,  $Q$  — энергия активации,  $R$  — газовая постоянная. Поскольку  $n \simeq 1$ , то в области малых напряжений сдвига  $\tau$  закон зернограничного проскальзывания можно считать вязким

$$v = \left( \frac{\tau}{B} \right), \quad (2)$$

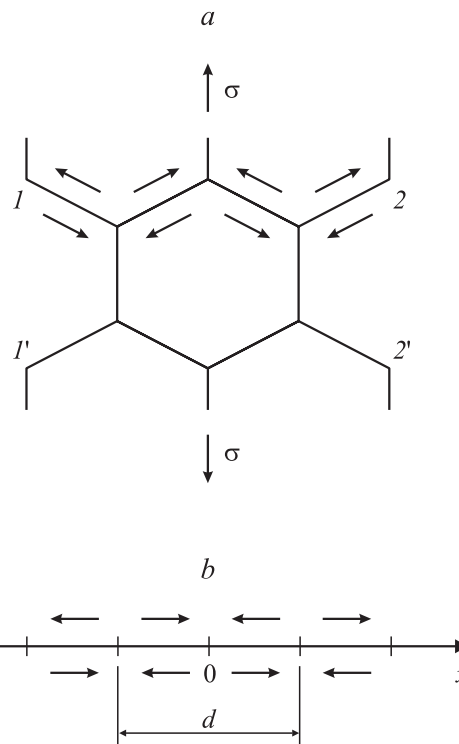
где  $B$  — феноменологический коэффициент трения, который зависит от  $T$ . Закон вида (2), например, использовался в [11,13].

Уравнение (2) описывает нестесненное зернограничное проскальзывание, когда граница зерен плоская (случай бикристалла) поверхность. В случае же поликристалла граница зерен в сечении имеет вид ломаной линии (претерпевает изломы в стыках), что не позволяет протекать зернограничному проскальзыванию беспрепятственно, если не действуют какие-либо механизмы аккомодации, устраняющие препятствия в стыках [7–9,11,14]. Предположим, что другие аккомодирующие механизмы, кроме упругого, не действуют или неэффективны (например, вследствие низкого уровня внешних напряжений или большой частоты  $\omega$  в случае циклического напряжения). Таким образом, объем поликристалла вне границ зерен находится, по предположению, в упругом состоянии.

Для оценки времени релаксации стесненного зернограничного проскальзывания  $\tilde{t}$  воспользуемся упрощенной двумерной моделью. Сначала рассмотрим двумерную схему поликристалла, подвергнутого одноосному симметричному нагружению (см. рисунок, *a*). При таком нагружении напряжения сдвига  $\tau$  возникают только на наклонных границах зерен, как показано двойными стрелками вдоль одной ломаной линии границ  $I-2$ . Для упрощения пренебрежем упругим взаимодействием составной границы  $I-2$  с другими составными границами (например,  $I'-2'$ ). Далее, заменим ломаную линию  $I-2$  прямой границей, но сохраним периодически изменяющийся характер действующих касательных напряжений. В результате приходим к схеме, изображенной на рисунке, *b*. Здесь линия распрямленной составной границы зерен совпадает с осью  $x$ . Напряжения сдвига  $\tau(x)$ , действующие вдоль границы, изменяются с периодом  $d$ , где  $d$  — размер зерна. В силу периодичности  $\tau(x)$ , как видно, относительные смещения зерен  $u(x)$  должны быть равны нулю

$$u(x) = 0, \quad (3)$$

в точках  $x = 0, \pm d/2, \dots, \pm kd/2$ , где  $k$  — любое целое число. Таким образом, условие (3) учитывает блокирующее действие стыков при скольжении вдоль ломаной линии  $I-2$ , и зернограничное проскальзывание тем самым



Двумерная схема поликристалла (*a*) и расчетная схема стесненного зернограничного проскальзывания (*b*).

сохраняет стесненный характер. При малых частотах нагружения  $\omega$ , когда

$$\left( \frac{2\pi}{\omega} \right) \gg \left( \frac{d}{c} \right), \quad (4)$$

где  $c$  — скорость звука, процесс зернограничного проскальзывания можно считать квазистатическим и описывать его уравнением вида (см. (2))

$$v = \frac{1}{B} (\tau + \tau_D). \quad (5)$$

Здесь  $(\tau + \tau_D)$  — полное напряжение, где  $\tau_D$  — упругое напряжение, создаваемое непрерывно распределенными зернограничными дислокациями, линейная плотность которых  $\rho(x) = du/dx$ . Такое распределение может отвечать реальным зернограничным дислокациям, если механизм проскальзывания дислокационный, или фиктивным дислокациям, если действует какой-либо недислокационный механизм. Согласно [15,16], имеем

$$\tau_D = A \int_{-\infty}^{\infty} \frac{\rho(\xi) d\xi}{x - \xi} = A \int_{-\infty}^{\infty} \frac{du/dx(\xi) d\xi}{x - \xi}, \quad (6)$$

где  $A = G/2\pi(1 - \nu)$ ,  $G$  — модуль сдвига,  $\nu$  — коэффициент Пуассона. Скорость проскальзывания  $v$  связана с относительным смещением зерен  $u$  соотношением

$$v = du/dt. \quad (7)$$

Подставляя выражения (6), (7) в (5), приходим к интегро-дифференциальному уравнению относительно неизвестной функции  $u(x, t)$

$$-B \left( \frac{\partial u}{\partial t} \right) + A \int_{-\infty}^{\infty} \frac{\partial u / \partial x (\xi) d\xi}{x - \xi} + \tau = 0. \quad (8)$$

Рассмотрим задачу о релаксации относительного смещения  $u(x, t)$  при дополнительных условиях:

$$u(x, 0) = 0, \quad (9)$$

$$\tau(x, t) = \begin{cases} 0, & t < 0; \\ \tau(x), & t \geq 0. \end{cases} \quad (10)$$

Поскольку  $\tau(x)$  — периодическая нечетная функция от переменной  $x$ , то ее можно при  $t > 0$  представить в виде фурье-разложения

$$\tau(x) = \sum_{n=1}^{\infty} \tau_n \sin \left( n \frac{2\pi}{d} x \right). \quad (11)$$

Очевидно, функция  $u(x, t)$  также может быть представлена в виде ряда (11)

$$u(x, t) = \sum_{n=1}^{\infty} u_n(t) \sin \left( n \frac{2\pi}{d} x \right), \quad (12)$$

где  $u_n(t)$  — коэффициенты разложения, зависящие от времени  $t$ . Подставляя выражения (11), (12) в (8) и учитывая соотношение (см. [17])

$$\frac{1}{2\pi i} \int_{-\infty}^{\infty} \frac{\cos(\xi) d\xi}{x - \xi} = -i \sin x, \quad (13)$$

приходим к уравнению относительно  $u_n(t)$

$$-B u_n' + A(2\pi) \left( -n \frac{2\pi}{d} \right) u_n + \tau_n = 0. \quad (14)$$

Уравнение (14) при  $u_n(0) = 0$  имеет решение вида

$$u_n = \frac{\tau_n d}{(2\pi)^2 A n} \left[ 1 - \exp \left( -\frac{t}{t_n} \right) \right], \quad (15)$$

где  $t_n$  — время релаксации  $n$ -го члена разложения (12)

$$t_n = \frac{1}{(2\pi)^2} \left( \frac{Bd}{A} \right) \left( \frac{1}{n} \right). \quad (16)$$

Как видно из (15), (16), основной вклад в релаксацию вносит первый член разложения (поскольку  $u_n \sim 1/n$ ) и время релаксации зернограничного проскальзывания  $\tilde{t}$  определяется временем релаксации этого основного члена  $t_1$

$$\tilde{t} = t_1 = \frac{1}{(2\pi)^2} \left( \frac{Bd}{A} \right). \quad (17)$$

Согласно (17), время релаксации  $\tilde{t} \sim d$  зависит от размера зерна, который изменяется в широких пределах

в рассматриваемых здесь субмикроструктурных и нанокристаллических материалах. При фиксированной температуре  $T$  и частоте нагружения  $\omega$  релаксационные процессы могут проявляться только в области достаточно малых размеров зерен  $d$ , меньших некоторого критического значения  $d_c(T, \omega)$

$$d < d_c(T, \omega). \quad (18)$$

Чтобы рассмотреть эти вопросы более подробно, перейдем к феноменологической (макроскопической) модели поликристалла как упруговязкого тела [18,19].

## 2. Макроскопическая модель

При приложении внешних упругих напряжений к поликристаллу, изображенному на рисунке, происходит как упругая, так неупругая деформация. Первая имеет место и в отсутствие (при выключении) зернограничного проскальзывания, как в упругом теле за счет деформации тела зерен. Неупругая часть связана со стесненным зернограничным проскальзыванием, аккомодируемым (в принятой нами модели) упругой деформацией. Такое поведение можно феноменологически описать с помощью так называемого стандартного линейного тела (реологической моделью Зинера) [2,4,20] (см. [2], рис. 80, b). Деформация этого тела  $\varepsilon$  подчиняется общему уравнению вида [18]

$$J_R \sigma + t_\sigma J_U \dot{\sigma} = \varepsilon + t_\sigma \dot{\varepsilon}, \quad (19)$$

где  $t_\sigma$ ,  $J_R$ ,  $J_U$  — константы материала. Указанные константы выражаются через параметры  $G_1$ ,  $G_2$ ,  $\eta_2$  реологической модели соотношениями

$$J_R = \frac{1}{G_1}; \quad J_U = \frac{1}{G_1 + G_2}; \quad t_\sigma = \eta_2 \frac{G_1 + G_2}{G_1 G_2}. \quad (20)$$

Здесь  $J_U = (1/M_U)$  — нерелаксированная податливость,  $J_R = (1/M_R)$  — релаксированная податливость;  $M_U$ ,  $M_R$  — соответствующие модули;  $t_\sigma$  — время релаксации (осуществления деформации тела при фиксированном значении напряжения  $\sigma$ ). Интегрирование (19) при дополнительном условии  $\varepsilon(t) = 0$ ,  $\sigma = 0$  при  $t < 0$  и  $\sigma = \text{const}$  при  $t \geq 0$  приводит к выражению для  $\varepsilon(t)$

$$\varepsilon(t) = J_U \sigma + (J_R - J_U) \sigma \left[ 1 - \exp \left( -\frac{t}{t_\sigma} \right) \right]. \quad (21)$$

Первое слагаемое в правой части (21) соответствует в нашей модели мгновенной упругой деформации тела зерен в поликристалле, второе — описывает процесс релаксации стесненной зернограничной деформации.

Рассмотрим поведение поликристаллического тела, описываемого уравнением (19), в случае периодического нагружения

$$\sigma = \sigma_0 \exp(i\omega t), \quad (22)$$

где  $\sigma_0$  — амплитуда,  $\omega$  — круговая частота. Деформация  $\varepsilon(t)$  с учетом (22) и некоторой фазы запаздывания  $\varphi$

определяется выражением

$$\varepsilon = \varepsilon_0 \exp[i(\omega t - \varphi)] \equiv (\varepsilon_1 - i\varepsilon_2) \exp(i\omega t), \quad (23)$$

где  $\varepsilon_0$  — амплитуда;  $\varepsilon_1, \varepsilon_2$  — составляющие  $\varepsilon$ , находящиеся в фазе и не в фазе с приложенным напряжением  $\sigma$  (22). Связь между  $\varepsilon$  и  $\sigma$  с учетом (22), (23) можно выразить в форме

$$\varepsilon = J^*(\omega)\sigma, \quad (24)$$

где  $J^*(\omega) = J_1(\omega) - iJ_2(\omega)$  — комплексная податливость.

Подставляя соотношения (22)–(24) в (19), получаем для зависящей от частоты величины релаксированной податливости  $J_1(\omega)$

$$J_1(\omega) = J_U + \frac{\delta J}{1 + \omega^2 t_\sigma^2}, \quad (25)$$

где  $\delta J$  — так называемая релаксация податливости

$$\delta J = (J_R - J_U). \quad (26)$$

Как видно из (25) ([18], рис. 1),  $J_1(\omega)$  стремится к постоянным пределам, равным  $J_U$  при  $\omega \rightarrow \infty$  и  $J_R = (J_U + \delta J)$  при  $\omega \rightarrow 0$ . Фаткически изменение податливости  $J_1(\omega)$  от нерелаксированного значения  $J_U$  до релаксированного  $J_R$  происходит в основном в достаточно малом интервале частот вблизи частоты  $\omega_*$ , удовлетворяющей равенству

$$\omega_* t_\sigma = 1. \quad (27)$$

Полагая в случае поликристалла  $t_\sigma = \tilde{t}$ , где  $\tilde{t}$  определяется выражением (17), получим из (27) оценку для  $\omega_*$

$$\omega_* = (2\pi)^2 \left( \frac{A}{Bd} \right). \quad (28)$$

При циклическом нагружении, в частности ультразвуковом воздействии, релаксация податливости (модуля) успевает произойти, если частота  $\omega$  меньше характерного значения  $\omega_*$

$$\omega < \omega_*. \quad (29)$$

Если же значение частоты  $\omega$  фиксировано, как имеет место в обычных экспериментах, то условие (29) будет выполняться согласно (28) только при достаточно малых размерах зерен  $d$

$$d < (2\pi)^2 \left( \frac{A}{B\omega} \right). \quad (30)$$

Таким образом, неупругость поликристаллов, связанная с механизмом степенного зернограничного проскальзывания, может проявляться как размерный эффект (возникать только в области достаточно малых размеров зерен).

### 3. Обсуждение результатов

Остановимся на обсуждении ряда важных моментов, касающихся использованной модели и полученных результатов, с привлечением имеющихся экспериментальных данных. Прежде всего следует сказать, что экспериментально полученные данные разных исследователей (см. [5,6,22]) о снижении модулей упругости в области малых размеров зерен  $d \leq 1 \mu\text{m}$  можно с осторожностью считать некоторым подтверждением предложенной нами теоретической модели неупругости поликристаллов. Согласно нашей модели, поликристаллам присущ особый вид неупругости, который носит характер размерного эффекта и должен обнаруживать себя именно при малых размерах зерен.

Для установления условий наблюдения данного типа неупругости проведем оценки значений основных параметров модели  $B$  и  $t_\sigma$ , используя уравнения (2) и (17), а также имеющиеся экспериментальные данные. По данным [12], для Ag при  $T = 180^\circ\text{C}$  и  $\sigma = 10^{-6}$  МПа наблюдаемая скорость зернограничного проскальзывания  $v = 4.19 \cdot 10^{-15}$  mm/s. Подставляя эти значения  $\sigma$  и  $v$  в уравнение (2), находим  $B = 2.37 \cdot 10^8$  МПа · s/mm. Для бикристаллов Al при  $T = 560^\circ\text{C}$  и  $\sigma = 0.29$  МПа получено значение  $v = 2.78 \cdot 10^{-5}$  mm/s (см. [12]). Согласно уравнению (2), этим значениям  $\sigma$  и  $v$  соответствует значение  $B = 1.04 \cdot 10^4$  МПа · s/mm.

Рассмотрим поликристаллы с размером зерна  $d = 10^{-5}$  mm (нанокристаллические материалы). Для Ag при  $T = 180^\circ\text{C}$ , полагая  $t_\sigma = \tilde{t}$ ,  $G = 3 \cdot 10^4$  МПа и используя соотношение (17), получим  $t_\sigma \simeq 10^{-2}$  s, для Al при  $T = 560^\circ\text{C}$  —  $t_\sigma = 3 \cdot 10^{-7}$  s. В первом случае для Ag значение  $t_\sigma$  оказывается большим, так что неупругость рассматриваемого типа не может наблюдаться в экспериментах с использованием ультразвука (частота  $\omega_*$ , согласно (27), оказывается малой  $\omega_* \sim 10^2 \text{ s}^{-1}$ ). Во втором случае для Al значение  $t_\sigma$  на много порядков меньше, и частота  $\omega_* \sim 3 \cdot 10^6 \text{ s}^{-1}$ , согласно (27), находится в области ультразвуковых колебаний. Таким образом, по крайней мере для Al можно сказать, что при  $T = 560^\circ\text{C}$  и  $d = 10^{-3}$  mm рассматриваемый нами тип неупругости может наблюдаться.

Экспериментально уменьшение упругих модулей наблюдалось в условиях высокочастотного воздействия в ультрамелкозернистой Cu [5] и Nb [22]. Однако для этих материалов экспериментальные данные относительно скорости зернограничного проскальзывания  $v$  или параметра  $B$  отсутствуют.

Приведенные выше оценки для  $B$  и  $t_\sigma$  основывались на экспериментальных данных [12], полученных в опытах на бикристаллах, когда реализуется микромеханизм зернограничного проскальзывания путем движения зернограничных дислокаций. Неконсервативное движение зернограничных дислокаций, согласно одной из реалистических моделей, обусловлено торможением переползающими ступеньками (см. [12,21]). Когда дислокации

совершают перемещения на расстояния  $l \gg b$  ( $b$  — вектор Бюргера дислокации), ступеньки вынуждены генерировать и испускать вакансии. Поэтому скорость движения дислокаций (и зернограничного проскальзывания) характеризуется энергией ([12], (28)). Однако ситуация может существенно измениться, когда  $l \sim b$ . Действительно, при  $d \sim 1 \mu\text{m}$  и  $\varepsilon \sim 10^{-6}$  (типичное значение амплитуды ультразвукового поля [22]) вклад неупругой деформации  $\tilde{\varepsilon}$  сравним с упругой деформацией  $\varepsilon$ , если средняя величина зернограничного проскальзывания  $u \sim 10^{-6} \mu\text{m}$ , т.е. является весьма малой. При линейной плотности зернограничных дислокаций  $\rho = 10^6 \text{cm}^{-1}$  и  $b = 10^{-8} \text{cm}$  проскальзывание величиной  $10^{-10} \text{cm}$  обеспечивается смещением на очень малое среднее расстояние  $l \simeq 10^{-8} \text{cm}$ , что может оказаться достаточным только для зарождения (без последующего испускания) вакансий на переползающих ступеньках. Тогда энергия активации процесса движения дислокации будет равной  $Q' = E_f$ , что существенно меньше  $Q = (E_m + E_f)$ . Это может привести к уменьшению  $B$  и увеличению  $\omega_*$  (29) на много порядков при комнатной температуре. Нельзя исключать и другие возможные микромеханизмы зернограничного проскальзывания с малыми значениями  $Q$  и  $B$ . Важным фактором является также неравновесность структуры границ зерен. Так, согласно данным [5], энергия активации процесса самодиффузии в нанокристаллических материалах, полученных путем интенсивной пластической деформации, оказывается ниже энергии активации самодиффузии по границам зерен в равновесном состоянии.

Следует несколько обсудить данный тип неупругости также с точки зрения величины релаксации податливости  $\delta J$ , которая входит в выражение для релаксированной податливости  $J_1(\omega)$  и определяется соотношением (26). Величину  $\delta J$  можно оценить путем расчета полной деформации поликристалла при статическом нагружении ( $\omega = 0$ ), используя двумерную модель. Согласно таким расчетам [11], значения нерелаксированного  $G_U$  и релаксированного  $G_R$  модулей сдвига соотносятся как

$$G_R = 0.75G_U. \quad (31)$$

Отсюда имеем оценку

$$\delta J \simeq 0.25J_U. \quad (32)$$

Как видно из (31), (32), релаксация модуля и податливости поликристалла путем стесненного зернограничного проскальзывания вполне сопоставима с экспериментально наблюдаемыми значениями в [5]. Существенно меньшие экспериментальные значения релаксации модуля, полученные в [22], возможно связаны с высокими значениями частоты (полная релаксация не успевает произойти) или с наличием препятствий зернограничному проскальзыванию (например, фасетки или ступеньки на границах зерен).

Сказанное выше не исключает других объяснений наблюдаемого уменьшения упругих модулей в нанокристаллических материалах [6]. В частности, многоступенчатое уменьшение модуля Юнга при росте размера

зерна во время отжига образцов Nb [22] указывает на действие нескольких механизмов. К нанокристаллическим материалам применима модель двухфазного тела с эффективным значением упругого модуля  $E$

$$E = Ev(1 - x) + E_{GB}x, \quad (33)$$

где  $Ev, E_{GB}$  — модули объема зерна и зерно граничной области,  $x$  — объемная доля зернограничной фазы. Отсюда, полагая  $E_{GB} = (1/2)Ev = 0.5$ , получаем

$$E = 0.75Ev, \quad (34)$$

т.е. уменьшение модуля  $\Delta E \approx 0.25Ev$ , что согласуется с типичными экспериментальными значениями  $\Delta E$  при  $d \approx 10 \text{nm}$  [6]. Однако данное объяснение не применимо в случае крупных размеров зерен  $d \leq 1 \mu\text{m}$  [5].

Еще одно альтернативное объяснение основано на предположении о наличии высокой степени пористости:

$$E = Ev(1 - y), \quad (35)$$

где  $y$  — объемная доля пор. Полагая  $y \approx 0.25$ , получаем  $\Delta E \approx 0.25Ev$ . Такая пористость и такое уменьшение модуля  $\Delta E$  вполне возможны в случае материалов, полученных путем прессования порошков [6]. Данное объяснение, как и предыдущее, нельзя распространить на материалы, полученные путем интенсивной пластической деформации [5,22]. Таким образом, здесь существует возможность предположить несколько различных физических моделей и объяснений. Для внесения ясности необходимы дальнейшие экспериментальные исследования в широком диапазоне изменения частоты, амплитуды нагружения, размера зерен и температуры. Можно допустить, что в различных областях этих параметров реализуются различные механизмы, ответственные за изменение упругих модулей. Предложенная в настоящей работе модель неупругости может, в частности, наблюдаться только при  $\omega < \omega_*$  (29). Кроме того, амплитуда нагружения должна быть достаточно малой, чтобы не возникали необратимые изменения дефектной структуры поликристалла.

## Список литературы

- [1] Никаноров С.П., Кардашев Б.К. Упругость и дислокационная неупругость кристаллов. М.: Наука, 1985. 284 с.
- [2] Постников В.С. Внутреннее трение в металлах. М.: Металлургия, 1974. 350 с.
- [3] Физическая акустика. Влияние дефектов на свойства твердых тел / Под ред. У. Мэзона. М.: Мир, 1969. Т. III. Ч.А. 578 с.
- [4] Новик А., Берри Б. Релаксационные явления в кристаллах. М.: Атомиздат, 1975. 472 с.
- [5] Валиев Р.З., Александров И.В. Наноструктурные материалы, полученные интенсивной пластической деформацией. М.: Логос. 2000. 272 с.
- [6] Гусев А.И., Ремпель А.А. Нанокристаллические материалы. М.: Физматлит, 2000. 224 с.

- [7] *Розенберг В.М.* Ползучесть металлов. М.: Металлургия, 1967. 276 с.
- [8] *Кайбышев О.А., Валиев Р.З.* Границы зерен и свойства металлов. М.: Металлургия, 1987. 214 с.
- [9] *Орлов А.Н., Перевезенцев В.Н., Рыбин В.В.* Границы зерен в металлах. М.: Металлургия, 1980. 156 с.
- [10] *Ке Тин-суй.* Упругость и неупругость металлов. М.: ИЛ, 1954. С. 198, 325.
- [11] *Rey R., Ashby M.F.* // Metal. Trans. 1971. Vol. 2. N 4. P. 1113.
- [12] *Гейтс Р.* Атомная структура межзеренных границ. М.: Мир, 1978. С. 220.
- [13] *Постников В.С.* Физика и химия твердого состояния. М.: Металлургия, 1978. 544 с.
- [14] *Ханнанов Ш.Х.* // ФММ. 1978. Т. 64. № 6. С. 1051.
- [15] *Ландау Л.Д., Лифшиц Е.М.* Теория упругости. М.: Наука, 1987. 248 с.
- [16] *Ханнанов Ш.Х.* Распределения дислокаций. Уфа: УНЦ УрО РАН, 1992. 220 с.
- [17] *Гахов Ф.Д.* Краевые задачи. М.: Физматлит, 1963. 640 с.
- [18] *Берри Б., Новик А.* Влияние дефектов на свойства твердых тел. М.: Мир, 1969. С. 11.
- [19] *Шепери Р.А.* Композиционные материалы / Под ред. Л. Браутман, Р. Крок. Т. 2. Механика композиционных материалов / Под ред. Дж. Сендецки. М.: Мир, 1978. С. 102.
- [20] *Зинер С.* Упругость и неупругость металлов. М.: ИЛ, 1954. С. 9.
- [21] *Грабский М.В.* Структурная сверхпластичность металлов. М.: Металлургия, 1975. 270 с.
- [22] *Буренков Ю.А., Никаноров С.П., Смирнов Б.И., Копылов В.И.* // ФТТ. 2003. Т. 45. № 11. С. 2017.